

1633

est encore plus compliqué: a) la partie  
 porte l° en dessous vers le milieu et  
 qu'é au bout et à bords parallèles,  
 extrémité une petite saillie triangulaire;  
 membraneux; c) les lobes terminaux dor-  
 prolongés et atténués chacun en un crochet  
 qu'é vers l'intérieur; entre ces crochets et la base  
 intérieurement et latéralement, une membrane est  
 base de ce lobe est prolongée intérieurement, de chaque  
 axe de l'organe, en deux ailerons sclérifiés, allongés et trans-  
 alement obliques, arrondis au bout, de direction légèrement diver-  
 gente apicalement, laissant apparaître le gonopore dans l'espace médian  
 laissé libre. Ce gonopore est de forme elliptique allongée et sa lon-  
 gueur n'atteint pas la moitié de celle des ailerons.

Type. Paraguay: Rio Pilcomayo, ♂, 16 × 9,5 mm., Musée de  
 Bruxelles. Paratypes. Plusieurs exemplaires des deux sexes de la même  
 provenance et 2 ♀ également du Paraguay: Hohenau, JACOB leg.,  
 n° 2648, 26-XI-1938, Musée de Berlin-Dahlem et ma coll.

\* \* \*

N. THÉOBALD a récemment décrit de l'Oligocène français deux  
 espèces nouvelles fossiles *Enochrus* †*striatus* et *Philydrus* †*inno-  
 vatus* (1). Cependant rien dans les descriptions et les figures données  
 ne permet de dire qu'il s'agit là réellement de Palpicornes. Il en  
 est de même d'†*Escheria* †*convexata*, †*crassipuncta*, †*punctulata*  
 et †*dimidiata* FÖRSTER, de l'Oligocène également, que le même  
 auteur transfère sans raisons satisfaisantes dans le genre *Hydrobius* (2),  
 sans autre résultat que d'obliger le systématiste à devoir maintenant  
 envisager ces noms au point de vue de la priorité, puisqu'il est tenté  
 de leur donner ainsi droit de cité dans le genre. Je n'ai jamais considéré  
*Escheria* comme étant un genre hydrophilide. Je ne puis que répéter  
 à ce sujet ce que j'ai dit en 1931 (3) à savoir que la paléontologie  
 du groupe n'a pu livrer jusqu'ici que peu de données utilisables  
 non seulement pour la phylogénie, mais aussi et surtout pour la  
 systématique. Pour la partie qui fait l'objet de mes études, je ne  
 puis donc que me rallier à la critique que R. JEANNEL (4) a faite  
 de l'ouvrage de THÉOBALD.

(1) Bull. Mém. Soc. Sc. Nancy, Mémoires, année 1937, p. 120 et 192.

(2) L. c., p. 168-169. Il y a déjà un *Hydrobius convexus* de BRULLÉ, 1835.

(3) C. R. Congrès national Sc. Bruxelles 29 juin-2 juillet 1930, 1931, p. 853.

(4) Revue française d'Entomologie, IV, 1937, p. 259-260.

## Ceratopogonidae et Chironomidae

NOUVEAUX OU PEU CONNUS D'EUROPE

(DIXIÈME NOTE)

PAR LE

D<sup>R</sup> M. GOETGHEBUER

### *Chironomus* (*Cryptochironomus*) *bavaricus* nov. sp.

♂. — Long. 2,5 mm. D'un vert tendre; scapes, bandes séparées  
 du mésonotum, métanotum et mésosternum roux brun; abdomen vert;  
 pattes blanchâtres; balanciers blancs; scutellum vert. Antennes et tarse

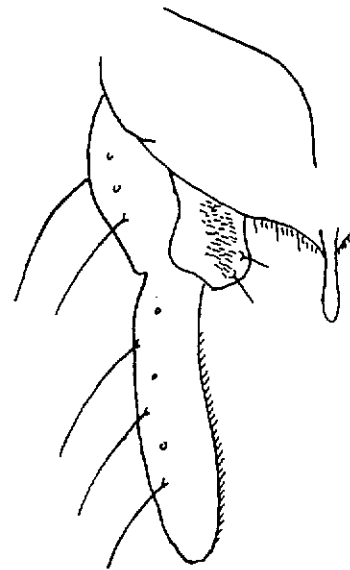


Fig. 1. — Moitié de l'hypopyge de *Chironomus bavaricus*.

antérieur brisés. Ailes blanchâtres, squame frangée; lobe anal presque  
 effacé;  $r_{4+5}$  double de  $r_1$ , plus près de la pointe alaire que  $cu_1$ ;

Ventralement l'organe paraît encore plus compliqué: a) la partie terminale atténuée des paramères porte 1° en dessous vers le milieu et au bord un lobe dentiforme tronqué au bout et à bords parallèles, 2° intérieurement et près de l'extrémité une petite saillie triangulaire; b) les appendices pairs sont membraneux; c) les lobes terminaux dorsaux du lobe médian sont prolongés et atténués chacun en un crochet sclérifié récurrent, arqué vers l'intérieur; entre ces crochets et la base du lobe médian, intérieurement et latéralement, une membrane est tendue; la base de ce lobe est prolongée intérieurement, de chaque côté de l'axe de l'organe, en deux ailerons sclérifiés, allongés et transversalement obliques, arrondis au bout, de direction légèrement divergente apicalement, laissant apparaître le gonopore dans l'espace médian laissé libre. Ce gonopore est de forme elliptique allongée et sa longueur n'atteint pas la moitié de celle des ailerons.

Type. Paraguay: Rio Pilcomayo, ♂, 16 × 9,5 mm., Musée de Bruxelles. Paratypes. Plusieurs exemplaires des deux sexes de la même provenance et 2 ♀♀ également du Paraguay: Hohenau, JACOB leg., n° 2648, 26-XI-1938, Musée de Berlin-Dahlem et ma coll.

N. THÉOBALD a récemment décrit de l'Oligocène français deux espèces nouvelles fossiles *Enochrus †striatus* et *Philydrus †innovatus* (1). Cependant rien dans les descriptions et les figures données ne permet de dire qu'il s'agit là réellement de Palpicornes. Il en est de même d'*†Escheria †convexata*, *†crassipuncta*, *†punctulata* et *†dimidiata* FÖRSTER, de l'Oligocène également, que le même auteur transfère sans raisons satisfaisantes dans le genre *Hydrobius* (2), sans autre résultat que d'obliger le systématiste à devoir maintenant envisager ces noms au point de vue de la priorité, puisqu'il est tenté de leur donner ainsi droit de cité dans le genre. Je n'ai jamais considéré *Escheria* comme étant un genre hydrophilide. Je ne puis que répéter à ce sujet ce que j'ai dit en 1931 (3) à savoir que la paléontologie du groupe n'a pu livrer jusqu'ici que peu de données utilisables non seulement pour la phylogénie, mais aussi et surtout pour la systématique. Pour la partie qui fait l'objet de mes études, je ne puis donc que me rallier à la critique que R. JEANNEL (4) a faite de l'ouvrage de THÉOBALD.

(1) *Bull. Mém. Soc. Sc. Nancy, Mémoires*, année 1937, p. 120 et 192.

(2) L. c., p. 168-169. Il y a déjà un *Hydrobius convexus* de BRULLÉ, 1835.

(3) C. R. Congrès national Sc. Bruxelles 29 juin-2 juillet 1930, 1931, p. 853.

(4) *Revue française d'Entomologie*, IV, 1937, p. 259-260.

## Ceratopogonidae et Chironomidae

NOUVEAUX OU PEU CONNUS D'EUROPE

(DIXIÈME NOTE)

PAR LE

D<sup>R</sup> M. GOETGHEBUER

### *Chironomus (Cryptochironomus) bavaricus* nov. sp.

♂. — Long. 2,5 mm. D'un vert tendre; scapes, bandes séparées du mésonotum, métanotum et mésosternum roux brun; abdomen vert; pattes blanchâtres; balanciers blancs; scutellum vert. Antennes et tarse

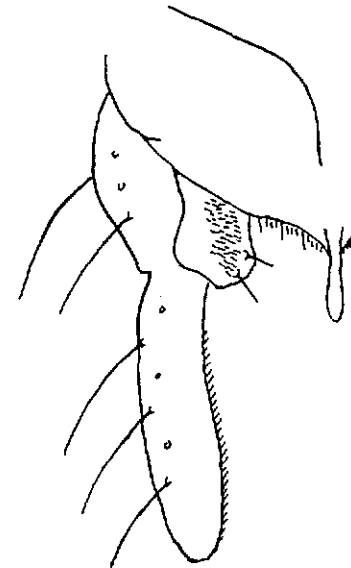


Fig. 1. — Moitié de l'hypopyge de *Chironomus bavaricus*.

antérieur brisés. Ailes blanchâtres, squame frangée; lobe anal presque effacé;  $r_4 + 5$  double de  $r_1$ , plus près de la pointe alaire que  $cu_1$ ;

cu<sub>2</sub> droite; fcu très distale de r-m (de trois fois la longueur de r m), non dépassée par an. Hypopyge (fig. 1) à pointe anale atteignant la base de l'article terminal, qui est long; app. 1 pourvu de 2 petites soies au bord interne insérées chacune sur une verrue.

Bavière: Munich VII-1911 (Dr HORN).

**Glyptotendipes Severini** GOETGH. var. **bicoloratus** nov.

♂. — Long. 7 mm. D'un vert clair; bandes médianes du mésonotum brun noir sur les 2/3 antérieurs, rousses sur le tiers postérieur; bandes latérales brun marron; scutellum vert; métanotum roux à la base, noir sur le restant; abdomen vert; les trois derniers tergites tachés de foncé; pattes vertes, les 4 derniers articles bruns aux pattes antérieures; balanciers blanchâtres. A. R. = 3 environ, les articles

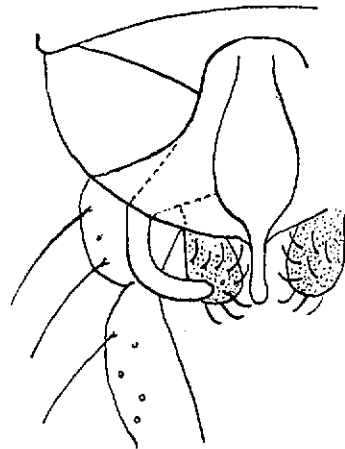


Fig. 2. — Moitié de l'hypopyge de *Glyptotendipes Severini* var. *bicoloratus*.

3-11 discoïdaux. Tarse longuement et densément barbu; L. R. = 1,15 environ. fcu sous r-m; an dépassant largement fcu; r<sub>4+5</sub> plus courte que le double de r<sub>1</sub>. Hypopyge (fig. 2) à article basal court; app. 1 en forme de faux, fortement incurvé; app. 2 très court, ne dépassant pas les app. 1; pointe anale médiocre.

Belgique: Zillebeke, 12-VIII-38 (Dr DE WULF).

**Polypedilum appendiculatum** nov. sp.

♂. — Long. 3,5 mm. D'un vert jaunâtre; bandes du mésonotum, métanotum et mésosternum jaune brunâtre; abdomen vert clair; pattes

vertes; balanciers blancs. Antennes de 14 articles, ces articles, hormis le 2<sup>e</sup>, pas plus longs que gros; A. R. = 1,35 (comme 62 : 95). Tarse assez longuement barbu; 4<sup>e</sup> article des tarsi antérieur et postérieur double du 5<sup>e</sup>, au tarse intermédiaire atteignant un 1/3 de plus que le 5<sup>e</sup>; t<sub>3</sub> à poils longs; L. R. = comme 35 : 55. Aile à lobe effacé, à squame frangée; r<sub>4+5</sub> moins longs que le double de r<sub>1</sub> et atteignant presque l'extrémité de l'aile, beaucoup plus rapproché de la pointe alaire que cu<sub>1</sub>; r<sub>2+3</sub> presque confondue avec r<sub>1</sub>; fcu distale de r-m (de la longueur de la moitié de cu<sub>2</sub>); an dépassant faiblement la fcu. Hypopyge (fig. 3) avec une pointe anale assez lon-

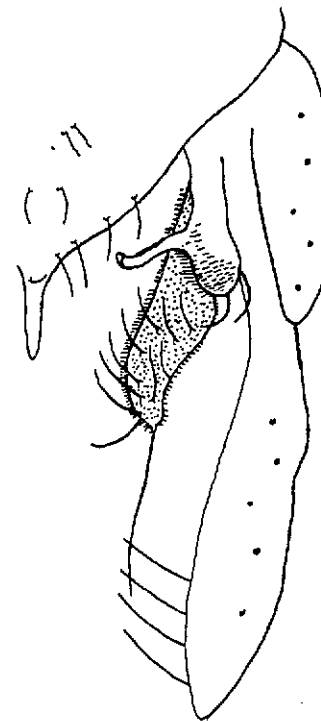


Fig. 3. — Moitié de l'hypopyge de *Polypedilum appendiculatum*.

gue; app. 1 subitement aminci au delà de la moitié du bord interne en un prolongement filiforme; app. 2 atteignant l'extrémité du premier tiers de l'article terminal et pourvu d'une longue soie au bout; article terminal avec 4 soies incurvées au tiers distal.

Belgique: Woumen (Étang du Blanckaert) le 26-VI-39 (Dr DE WULF).

**Micropsectra radialis** nov. sp.

♂. Long. 5 mm. D'un noir mat, prineux de grisâtre entre les bandes du mésonotum et dans l'espace préscutellaire; scutellum brunâtre; abdomen brun noir; pattes brunâtres; balanciers jaunâtres. A. R. = 3 environ (comme 58 : 150); articles 3-13 discoïdaux. L. R. = 1; tarse antérieur longuement et densément barbu; 4<sup>e</sup> arti-

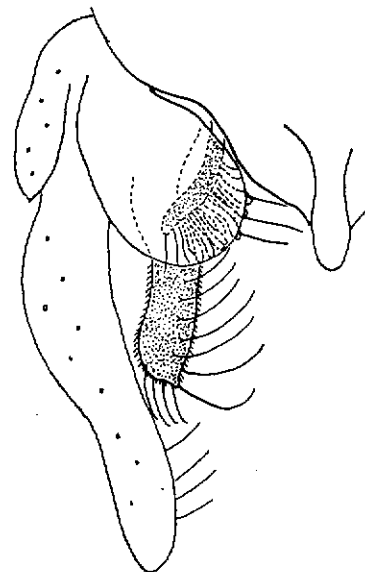


Fig. 4. — Moitié de l'hypopyge de *Micropsectra radialis*.

cle du tarse antérieur d'un tiers plus long que le 5<sup>e</sup>; aux tarses postérieurs ces articles sont subégaux. Ailes blanchâtres, à lobe anal nul;  $r_{4+5}$  atteignant à peine la moitié de  $r_1$ , plus éloignée de la pointe alaire que  $cu$ ;  $fcu$  sous  $r-m$  ou même un peu en deça de  $r-m$ ; an aboutissant vis à vis de  $fcu$ ;  $cu_2$  droite; pubescence localisée à l'extrême pointe de l'aile, dans la  $R_5$ . Hypopyge à pointe anale courte; app. 1 grand et ovalaire, dépassant l'extrémité de l'article basal, qui est court (fig. 4); app. 2a allongé, à soies dilatées en globule.

Alpes bavaroises, 3-III-1916 (Dr HORN).

**Tanytarsus paludum** nov. sp.

♂. — Long. 2,5 mm. Vert; bandes fusionnées du mésonotum, espace préscutellaire, métanotum et mésosternum noirs; pattes ver-

dâtres; abdomen vert clair, balanciers blancs. A. R. = 1,2 (comme 55 : 70); scapes noirs, antennes de 14 articles à panache normal. Palpes normaux. L. R. = 2, éperons des tibias postérieurs très courts. Ailes pubescentes dans leur moitié distale, plus densément à la pointe, non lobée;  $r_{4+5}$  d'un tiers plus courte que le double de  $r_1$ , beaucoup plus rapprochée de la pointe alaire que  $cu$ ;  $fcu$  distale de  $r-m$  (du tiers de la  $cu_2$ ); an s'arrêtant sous la  $r-m$ . Hypopyge (fig. 5) à

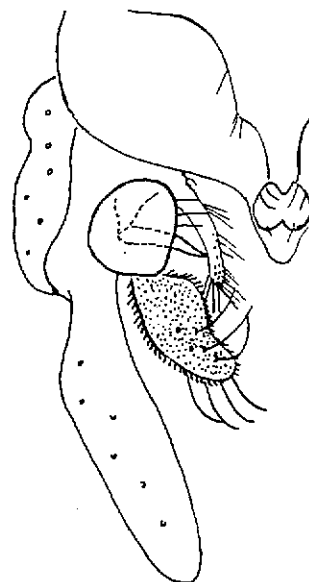


Fig. 5. — Moitié de l'hypopyge de *Tanytarsus paludum*.

pointe courte; app. 1 de forme irrégulière, aussi long que large; app. 1a pointu; app. 2a dépassant un peu l'app. 1, à poils simples,  $\pm$  réunis en faisceaux.

Voisin de *T. inopertus*, mais L. R. plus grande et app. 2a un peu plus long. que l'app. 1.

Belgique: Étang de Dickebusch, le 2-VII-1939.

**Orthocladus devonicus** EDW.

De cette espèce on ne connaissait que le ♂; voici la diagnose de la ♀:

♀. — Long. 1,5-1,75 mm. Jaune avec les bandes du mésonotum noires, séparées; mésosternum et métanotum noirs. Ailes à lobe bien

marqué;  $r_{4+5}$  dépassée par la  $c$ , double de  $r_1$ , plus loin de la pointe alaire que  $cu_1$ ;  $cu_2$  non sinueuse; fcu sous  $r-m$ . Antennes (fig. 6) de 6 articles; le 6<sup>e</sup> aussi long que les 3 précédents réunis; A. R. = 0,8 environ; dernier article avec une soie préapicale; 2<sup>e</sup> article non

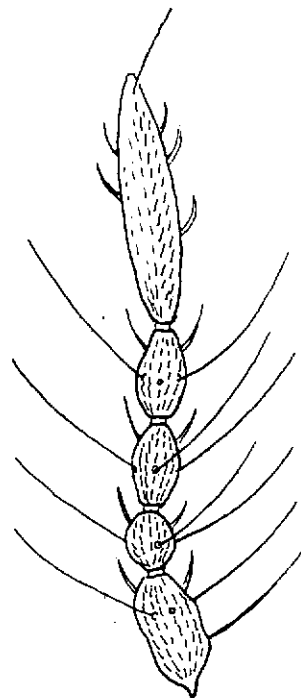


Fig. 6. — Antenne ♀ d'*Orthocladus devonicus*.

rétréci, à 2 verticilles; 3<sup>e</sup> article plus court que chacun des 2 suivants, subsphérique; les 4-5 un peu amincis aux deux bouts; organes sensoriels sétiformes. Pattes et balanciers jaunâtres.

Basse-Autriche (Dr MITIS).

***Smittia superata* nov. sp.**

♂. — Long. 2 mm. Noir, abdomen noirâtre; pattes brunâtres; balanciers verdâtres. Palpes assez longs. Yeux nus. Antennes de 14 articles, les basaux plus larges que longs; à partir du 9<sup>e</sup> plus longs que larges; le dernier avec une courte soie préapicale; A. R. = 1,1 (comme 45 : 50). 4<sup>e</sup> et 5<sup>e</sup> articles du tarse intermédiaire d'un quart plus long que le 5<sup>e</sup>, égaux au tarse postérieur; L. R. = environ 0,5;

pattes postérieures à longs poils; empodium un peu plus court que les crochets. Ailes nues, à squame non frangée et à lobe obtusément

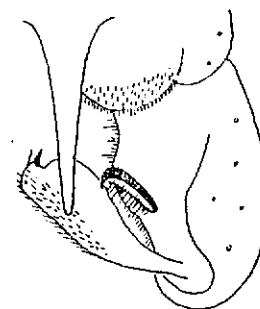


Fig. 7. — Moitié de l'hypopyge de *Smittia superata*.

arrondi;  $r_{2+3}$  aboutissant un peu plus près de  $r_1$  que de  $r_{4+5}$ , longuement dépassée par  $c$ , à peu près double de  $r_1$  et aboutissant

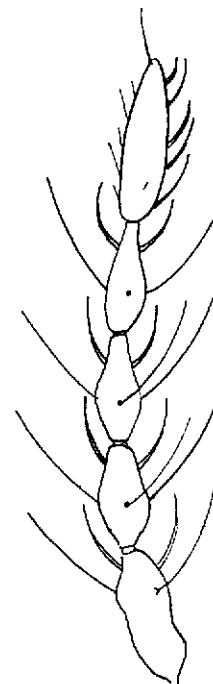


Fig. 8. — Antenne ♀ de *Smittia superata*.

à égale distance de la pointe alaire que  $cu_1$ ;  $cu_2$  nettement sinueuse; fcu distale de  $r-m$  et guère dépassée par  $an$ . Hypopyge (fig. 7) à

pointe très longue; lobe interne de l'article basal réduit à un lobule pointu.

♀. — Même taille et même coloration;  $r_{4+5}$  longuement dépassée par  $c$  et atteignant presque la pointe alaire;  $r_{4+5}$  plus du double de la  $r_1$ . Antennes de 6 articles, le 2<sup>e</sup> un peu étranglé et muni d'un verticille: 4<sup>e</sup> et 5<sup>e</sup> articles amincis en avant, le 6<sup>e</sup> avec une soie terminale; organes sensoriels très longs (fig. 8).

Laponie suédoise, 19-VII-1938 (Pr THIENEMANN).

**Trichocladus Horni** nov. sp.

♂. — Long. 4 mm. Jaunâtre aux angles antérieurs du mésonotum qui est noir un peu luisant; fossettes humérales grandes; abdomen brun noir; pattes brunes; balanciers jaunâtres. Yeux velus. Palpes normaux. A. R. = 1,5 (comme 60 : 90). 4<sup>e</sup> article du tarse antérieur d'un tiers plus long que le 5<sup>e</sup>; aux tarses postérieurs d'un quart

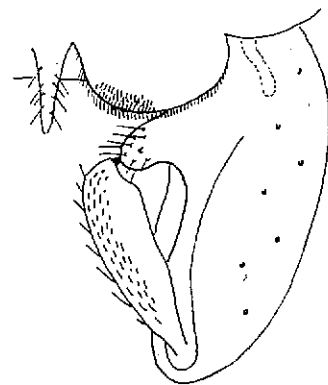


Fig. 9. — Moitié de l'hypopyge de *Trichocladus Horni*.

plus long que le 5<sup>e</sup>; L. R. = 0,65. Ailes un peu blanchâtres, à lobe très apparent, arrondi et un peu proéminent du côté interne; squame frangée;  $r_{4+5}$  légèrement dépassée par la  $c$ , au moins double plus longue que  $r_1$ , plus proche de la pointe alaire que  $cu_1$ ;  $r_{2+3}$  aboutissant avant le milieu de l'espace entre  $r_1$  et  $r_{4+5}$ ;  $cu_2$  un peu arquée mais non sinueuse. Hypopyge (fig. 9) avec une pointe pubescente; article basal avec un lobe interne sortant de la base de l'article.

Allemagne: Munich, 13-V-1916 (Dr HORN).

**Limnophyes lapponicus** nov. sp.

♂. — Long. 2 mm. Noir; abdomen noir, ventre blanchâtre; pattes

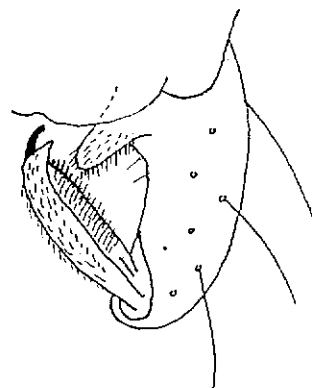


Fig. 10. — Moitié de l'hypopyge de *Limnophyes lapponicus*.

brunes; balanciers brunâtres. Palpes assez courts. Articles 3<sup>e</sup> et 4<sup>e</sup> de

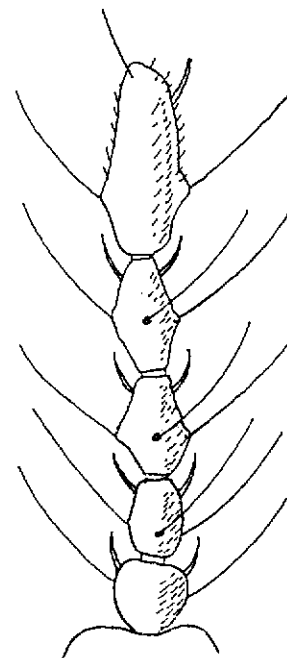


Fig. 11. — Antenne ♀ de *Limnophyes lapponicus*.

l'antenne plus larges que longs, les suivants plus longs que larges;

A. R. = 0,6 (comme 52 : 30). 4<sup>e</sup> article du tarse antérieur égalant le 5<sup>e</sup>; il en est de même pour le tarse intermédiaire; au tarse postérieur le 4<sup>e</sup> article est plus court que le 5<sup>e</sup>. L. R. = 0,5. Aile à lobe obtus, pointillée et à squame frangée de 5 soies;  $r_{4+5}$  médiocrement dépassée (de la longueur de la r-m) un peu plus éloignée de la pointe alaire que la  $cu_1$ ;  $r_{2+3}$  aboutissant beaucoup plus près de r, que de  $r_{4+5}$ ; fcu assez distale de r-m;  $cu_2$  légèrement sinueuse; an ne dépassant pas fcu. Ailes plus courtes que l'abdomen, atteignant l'extrémité du 7<sup>e</sup> segment abdominal. Hypopyge (fig. 10) avec une pointe; lobe interne de l'article basal couvert en partie par la lamelle dorsale.

♀. — Long. 2 mm. Noir; balanciers à extrémité brune, à base jaunâtre; pattes brunes. Palpes pas plus longs que les antennes. Ailes atteignant l'extrémité du 5<sup>e</sup> segment abdominal, couvertes de fins microtriches. Antennes de 6 articles, le 2<sup>e</sup> subsphérique, le 3<sup>e</sup> ± cylindrique, les 4<sup>e</sup> et 5<sup>e</sup> amincis aux deux extrémités et plus longs que le 2<sup>e</sup> ou le 3<sup>e</sup>; 6<sup>e</sup> article plus court que les deux précédents réunis (fig. 11).

Laponie suédoise: Nordhang des Pallemjtakko, 19-VII-1938.

***Diamesa (Psilodiamesa) albicornis* nov. sp.**

♂. — Long. 4 mm. Noir, prineux de gris argenté sur le mésonotum et avec des traces de bandes grisâtres: pleures et mésosternum

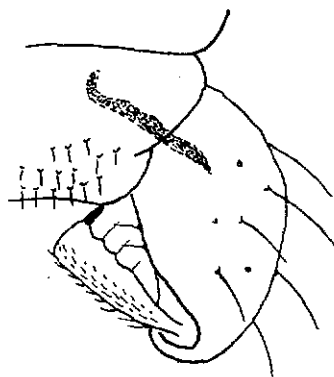


Fig. 12. — Moitié de l'hypopyge de *Diamesa albicornis*.

d'un gris argenté; pattes brunes; balanciers blanc jaunâtre; abdomen noir prineux de grisâtre. Yeux nus. Palpes assez longs. Antennes avec le panache blanc; A. R. = 1,5 environ. Tarse antérieur brièvement barbu; L. R. = 0,65; 4<sup>e</sup> article de tous les tarses notable-

ment plus court que le 5<sup>e</sup>. Ailes d'un blanc laiteux, nues, sans microtriches;  $r_1$  plus longue que la moitié de  $r_{4+5}$ ;  $r_{2+3}$  plus rapprochée de r, que de  $r_{4+5}$ ; r-m longue, double de m-cu, qui est insérée sur la  $cu_1$  un peu après fcu; r-m un peu arquée;  $cu_1$  et  $cu_2$  longues, disposées à angle très aigu; an dépasse fcu;  $r_{4+5}$  plus près de la pointe alaire que  $cu_1$ ; lobe anal proéminent du côté interne; squame densément frangée; aile nue. Hypopyge (fig. 12) sans pointe anale, ni sans lobe à l'article basal.

Allemagne: Chiemsee, le 9-VI-1939 (Dr HORN).